

При минимизации двумерной функции Розенброка в области  $D = \{X \mid x_1, x_2 \in [-1, 2; 1, 2]\}$  (см. Приложение Б)  $B$ -алгоритм также достиг 100 % успеха и потребовал по крайней мере в два раза меньшего числа итераций по сравнению с указанными алгоритмами. В случае четырехмерной функции Розенброка в той же области поиска  $B$ -алгоритму потребовалось большее число испытаний для достижения минимума со 100 % успехом.

### 3.3.3 Алгоритм колонии искусственных пчел

Алгоритм колонии искусственных пчел (*Artificial Bee Colony, ABC*) предложил Карабога (*D. Karaboga*) в 2005 г. для задачи непрерывной безусловной оптимизации. Впоследствии алгоритм модифицирован в работах того же автора и Бастурка (*B. Basturk*) и распространен на задачу условной оптимизации.  $ABC$ -алгоритм хорошо зарекомендовал себя при решении как унимодальных, так и многоэкстремальных задач оптимизации. Суть алгоритма состоит в комбинировании алгоритмов локального и глобального поиска с целью достижения оптимального баланса между ними.

Рассмотрим задачу глобальной условной минимизации в гиперкубе

$$D = \{X \mid x^- \leq x_i \leq x^+, i \in [1:|X|]\} \subset R^{|X|}.$$

Напомним, что произвольный гиперпараллелепипед  $\Pi$  с помощью линейных преобразований компонент вектора  $X$  легко трансформировать в указанный гиперкуб.

В  $ABC$ -алгоритме популяция содержит три группы пчел: рабочие пчелы, пчелы-исследователи и пчелы-разведчики. На разных этапах алгоритма рабочие пчелы превращаются в пчел-разведчиков и наоборот, так что в каждый данный момент времени популяция состоит из множеств рабочих пчел и пчел-исследователей, имеющих равные мощности. Каждому разрабатываемому участку (источнику нектара) ставится в соответствие одна рабочая пчела. Если некоторый участок перестает представлять интерес для популяции, то этот участок объявляется *заброшенным* и соответствующая рабочая пчела становится пчелой-разведчиком.

Введем следующие обозначения:  $s_i^w, i \in [1:|S^w|]$  – рабочие пчелы;  $s_j^o, j \in [1:|S^o|]$  – пчелы-исследователи;  $|S| = |S^w| + |S^o|$  – общее число пчел в рое. Текущие положения рабочих пчел и пчел-исследователей определяют векторы их координат  $X_i^w, X_j^o$  соответственно, которым придаем смысл положений источников нектара. Количество нектара в его источнике полагаем равным значению фитнес-функции в соответствующей точке. Заброшенным объявляем участок, который не изменяется в течение заданного числа итераций.

Схема  $ABC$ -алгоритма включает в себя этап инициализации популяции и повторяющиеся итерации поискового процесса, каждая из которых состоит из следующих стадий: разработка источников рабочими пчелами; разработка источников пчелами-исследователями; поиск новых источников пчелами-разведчиками; завершение итераций. Рассмотрим указанные шаги алгоритма.

Инициализация популяции заключается в генерации в гиперкубе  $D$  начальных решений (координат участков) по формуле

$$X_i^w(0) = U_{|X|}(x^-; x^+), \quad i \in [1:|S^w|] \quad (3.24)$$

и вычислении количеств нектара в них

$$\varphi(X_i^w(0)) = \varphi_i^w(0) = \begin{cases} \frac{1}{1 + f(X_i^w(0))}, & f(X_i^w(0)) \geq 0, \\ 1 + \text{abs}(f(X_i^w(0))), & f(X_i^w(0)) < 0. \end{cases} \quad (3.25)$$

Заметим, что формула (3.25) сводит задачу минимизации целевой функции  $f(X)$  к задаче максимизации фитнес-функции.

Решение  $X_i^w(0)$  интерпретируем как источник, подлежащий разработке рабочей пчелой  $s_i^w$ .

*Стадия разработки участков.* На этой стадии каждая рабочая пчела  $s_i^w, i \in [1:|S^w|]$  пытается отыскать в окрестности своего текущего участка  $X_i^w$  новый участок  $X'_i$  с большим количеством нектара по следующей схеме:

- 1) генерируем точку  $X'_i$ ,
- 2) вычисляем количество нектара в этой точке и сравниваем его с количеством нектара в источнике  $X_i^w$ ,
- 3) если количество нектара в новой точке больше, то перемещаем рабочую пчелу в эту точку.

Генерацию точки  $X'_i$  выполняем по формуле

$$x'_{i,j} = \begin{cases} x_{i,j}^w + U_1(-1; 1)(x_{i,j}^w - x_{k,j}^w), & j = l, \\ x_{i,j}^w, & j \neq l, \end{cases} \quad (3.26)$$

где  $l = U_1[1:|X|]$ ,  $k = U_1[1:|S^w|]$ ,  $k \neq i$ . Другими словами, новый источник находим на прямой, параллельной случайно выбранной координатной оси  $0x_l$ . Источник на этой прямой располагаем на случайном расстоянии от источника  $X_i^w$ , пропорциональном расстоянию по оси  $0x_l$  до случайно выбранного другого источника  $X_k^w$  (рис. 3.35).

Отметим следующее обстоятельство. Из формулы (3.26) следует, что чем меньше расстояние между источниками  $X_i^w$ ,  $X_k^w$ , тем меньше расстояние между  $X_i^w$  и новой точкой  $X'_i$ . Поскольку на завершающих итерациях алгоритма пчелы  $s_i^w, i \in [1:|S^w|]$  концентрируются вблизи глобального максимума фитнес-функции, указанное расстояние, а тем самым и шаг поиска с ростом числа итераций уменьшаются. В результате уменьшается ширина обзора и повышается точность локализации искомого максимума.

Рассмотренная схема генерации точки  $X'_i$  может привести к ситуации, когда эта точка оказывается за пределами области поиска  $D$ . В соответствии с алгоритмом *ABC* в этом случае в качестве результирующей точки используем проекцию точки  $X'_i$  на ближайшую границу этой области.

Количество нектара  $\varphi'_i$  в найденных точках  $X'_i, i \in [1:|S^w|]$  вычисляем по формуле, аналогичной формуле (3.25). Если имеет место ситуация

$\phi'_i > \phi_i^w$ , то полагаем  $X_i^w = X'_i$ , иначе оставляем вектор  $X_i^w$  без изменений.

**Стадия разработки источников пчелами-исследователями.** На этой стадии рабочие пчелы делятся информацией о полезности своих источников с пчелами-исследователями, которые на основе полученной информации принимают решение о том, к какому источнику им целесообразно отправиться для его дальнейшей разработки. Чем выше качество источника, тем больше пчел-исследователей к нему будет направлено. Пчелы-исследователи разрабатывают окрестности выбранного источника аналогично рабочим пчелам. Полученную информацию о качестве источника пчелы-исследователи передают рабочим пчелам, разрабатывающим данный источник. На основе этой информации те принимают решение, следует ли им переключаться на разработку нового источника или нет. После этого пчелы-исследователи возвращаются обратно в улей.

Выбор источника, к которому должна направиться пчела-исследователь, осуществляем алгоритмом рулетки. Так что вероятность  $\xi_i^o$  того, что пчела-исследователь  $s_i^o$  выберет источник  $X_i^w$ , определяет формула

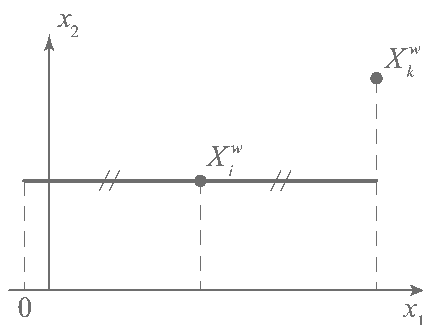
$$\xi_i^o = \frac{\phi_i^w}{\sum_{j \in [1:|S^w|]} \phi_j^w}, \quad i \in [1:|S^o|]. \quad (3.27)$$

Пчела-исследователь осуществляет локальный поиск в окрестности выбранного источника  $X_i^w, i \in [1:|S^w|]$  по рассмотренной схеме стадии разработки источников. Каждая из пчел-исследователей, разрабатывающая источник  $X_i^w$ , передает рабочей пчеле  $s_i^w$ , «ответственной» за этот источник, соответствующую полезность, вычисленную по формуле (3.25). На основании информации от всех пчел-исследователей, разрабатывающих источник  $X_i^w$ , рабочая пчела  $s_i^w$  принимает решение о переносе источника в новую точку.

**Стадия поиска новых источников пчелами-разведчиками.** Если в течение  $b_i$  итераций полезность источника  $X_i^w, i \in [1:|S^w|]$  не удастся улучшить, то источник переводим в разряд заброшенных. Соответствующая этому источнику рабочая пчела становится пчелой-разведчиком. Автор алгоритма ABC предлагает использовать значение параметра  $b_i$ , равное  $|X| \cdot |S^w|$ .

По схеме инициализации популяции для всех пчел-разведчиков генерируем новые источники и вновь переводим всех этих пчел в ранг рабочих пчел.

**Стадия завершения итераций.** На данной стадии проверяем выполнение условия завершения итераций, и если оно выполнено, заканчиваем вычисления. В противном случае возвращаемся к стадии разработки источников рабочими пчелами. Как всегда, в качестве условия окончания итераций может быть использовано, например, условие достижения максимального числа итераций или условие наступления стагнации.



**Рис. 3.35.** К схеме локального поиска: участок  $X_i^w$  с равной вероятностью находится в любой из точек выделенного отрезка

Общая схема алгоритма *ABC* имеет следующий вид.

1) По формулам (3.24), (3.25) инициализируем популяцию  $s_i^w$  рабочих пчёл в источниках  $X_i^w, i \in [1:|S^w|]$ .

2) Вычисляем исходное приближение к решению

$$\varphi(\tilde{X}^*) = \max_{i \in [1:|S^w|]} \varphi(X_i) = \tilde{\varphi}^*.$$

3) Для каждой рабочей пчелы  $s_i^w$  по формуле (3.26) генерируем точку  $X'_i$  и по формуле, аналогичной формуле (3.25), вычисляем ее полезность  $\varphi'_i$ . Если  $\varphi'_i > \varphi_i^w$ , то источник нектара из точки  $X_i^w$  переносим в точку  $X'_i$ .

4) По формуле (3.27) для каждого из источников нектара  $X_i^w$  вычисляем вероятность  $\xi_i^o$  того, что пчела-исследователь выберет его для разработки. С помощью алгоритма рулетки назначаем каждой пчеле-исследователю источник, который ей следует разрабатывать, и отправляем ее к этому источнику.

5) Для каждой пчелы-исследователя по формуле (3.26) генерируем точку  $X'_i$  и по формуле, аналогичной формуле (3.25), вычисляем ее полезность  $\varphi'_i$ .

6) На основании информации о результатах локального поиска, выполненного пчелами-исследователями, разрабатывающими каждый данный источник нектара, принимаем решение о перемещении или не перемещении соответствующей рабочей пчелы в новый источник.

7) Если решение в источнике  $X_i^w$  не улучшается в течение  $b_i$  итераций, то данный источник исключаем из процесса разработки и соответствующую ему рабочую пчелу объявляем пчелой-разведчиком.

8) Для каждой пчелы-разведчика по формуле (3.24) генерируем новый источник нектара и объявляем ее рабочей пчелой, разрабатывающей этот источник.

9) В каждом текущем источнике нектара  $X_i^w, i \in [1:|S^w|]$  вычисляем значение фитнес-функции  $\varphi(X_i)$  и определяем максимальное из этих значений  $\varphi(X_{i_j}^w) = \max_{i \in [1:|S^w|]} \varphi(X_i^w)$ . Если  $\tilde{\varphi}^* < \varphi(X_{i_j}^w)$ , то полагаем  $\tilde{\varphi}^* = \varphi(X_{i_j}^w)$ .

10) Проверяем условие окончания итераций. Если это условие выполнено, то принимаем  $X^* = \tilde{X}^*$  и завершаем вычисления. Иначе переходим к шагу 3.

Кроме общих для всех популяционных алгоритмов, свободным параметром алгоритма является параметр  $b_i$  – максимальное число неудачных итераций.

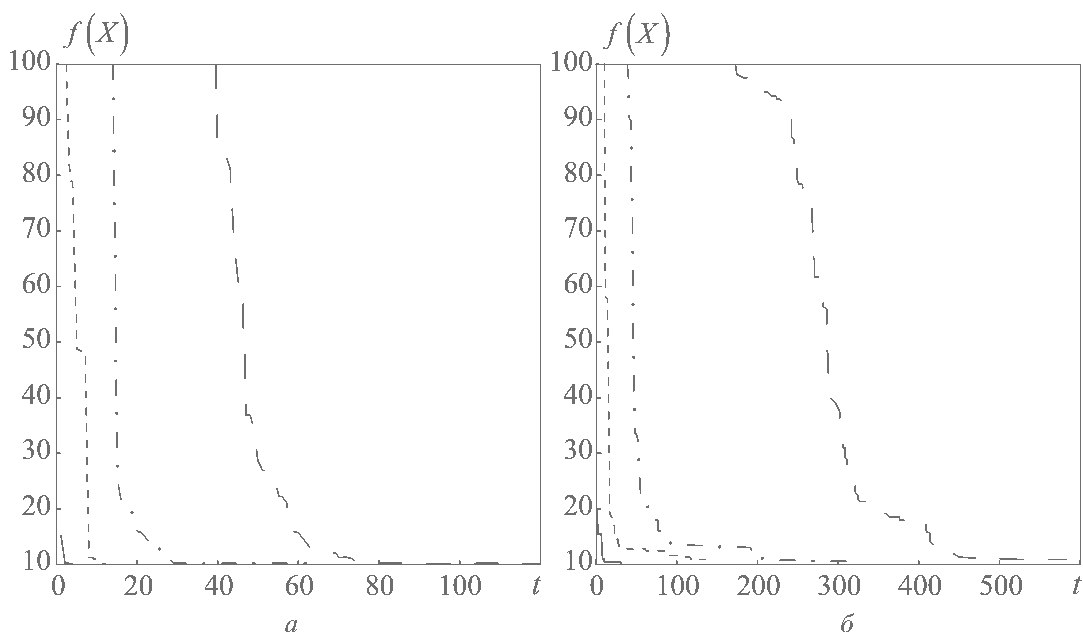
**Пример 3.6.** Рассмотрим задачи минимизации сферической функции, а также функций Розенброка, Растригина и Экли (Приложение Б). Множеством допустимых значений вектора варьируемых параметров во всех случаях является гиперкуб

$$D = \{X \mid -20 \leq x_i \leq 20, i \in [1:|X|]\}.$$

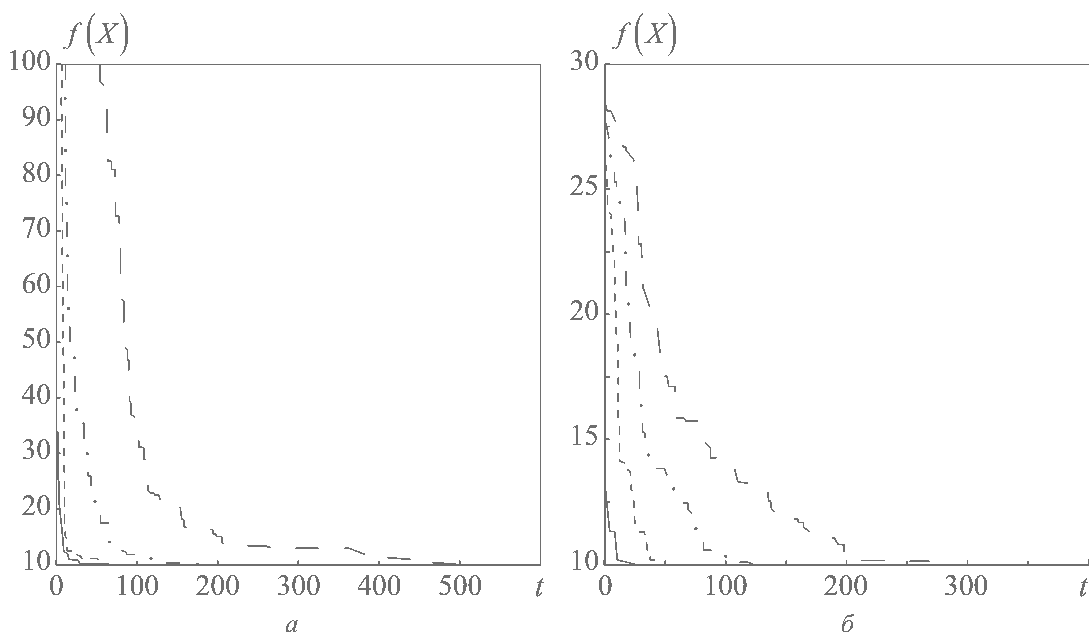
Полагаем, что фитнес-функция обратна целевой функции.

Используем число рабочих пчел (а значит, и источников нектара), равное  $|S^w| = 20$ , так что общее число пчел в рое  $|S| = 40$ . Максимальное число неудачных итераций в источнике принимаем равным  $b_i = |S^w| \cdot |X|$ . В качестве критерия окончания итераций используем стагнацию вычислительного процесса в течение  $\delta_i = 20$  итераций. Размерность вектора  $X$  варьируем в пределах от двух до 16.

Скорость сходимости алгоритма *ABC* при решении указанных задач иллюстрируют рис. 3.36, 3.37. Рисунки показывают высокую скорость сходимости алгоритма даже в случае высокой размерности пространства поиска и даже для таких сложных многоэкстремальных функций, как функции Растригина и Экли.



**Рис. 3.36.** Сходимость *ABC*-алгоритма: *a* – сферическая функция: —  $|X| = 2$ , .....  $|X| = 4$ , ---  $|X| = 8$ , --  $|X| = 16$ ; *б* – функция Розенброка: —  $|X| = 2$ , .....  $|X| = 4$ , ---  $|X| = 8$ , --  $|X| = 16$



**Рис. 3.37.** Сходимость *ABC*-алгоритма: *a* – функция Растригина: —  $|X| = 2$ , .....  $|X| = 4$ , ---  $|X| = 8$ , --  $|X| = 16$ ; *б* – функция Экли: —  $|X| = 2$ , .....  $|X| = 4$ , ---  $|X| = 8$ , --  $|X| = 16$

Для исследования зависимости скорости сходимости алгоритма от размерности задачи воспользуемся мультистартом с числом запусков алгоритма  $\hat{n} = 30$ . В качестве меры скорости сходимости используем усредненную величину  $t_{end}$ , то есть усредненное число итераций до начала стагнации вычислений. Результаты исследования иллюстрируют табл. 3.3 и рис. 3.38.

Таблица 3.3Среднее число итераций  $\bar{t}_{end}$

X	Среднее число итераций $\bar{t}_{end}$			
	Сферическая функция	Функция Розенброка	Функция Растригина	Функция Экли
2	82	33	116	154
4	155	92	239	287
8	312	254	463	574
16	626	589	942	1137

Табл. 3.3 и рис. 3.38 показывают, что в широком диапазоне варьирования размерности задачи имеет место практически линейная зависимость величины  $\bar{t}_{end}$  от этой размерности.

Результаты исследования показывают, что ABC-алгоритм обеспечивает 100% локализацию глобального экстремума таких топологически сложных функций, как функции Растригина и Экли, даже при их высокой размерности, равной 16. В то же время алгоритм показывает гораздо худшие результаты при

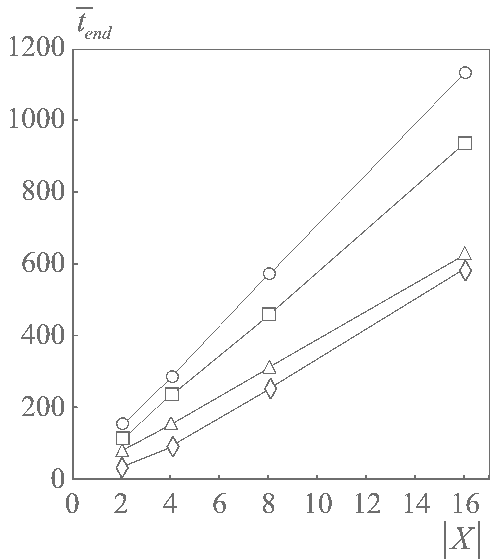


Рис. 3.38. Скорость сходимости ABC-алгоритма  $\bar{t}_{end}$  в функции размерности задачи  $|X|$ :  $\Delta$  – сферическая функция;  $\diamond$  – функция Розенброка;  $\square$  – функция Растригина;  $\circ$  – функция Экли

оптимизации овражной функции Розенброка, особенно при ее высокой размерности. Это обстоятельство связано с тем, что дно оврага функции Розенброка не ориентировано вдоль какой-либо оси системы координат  $0x_1x_2...x_{|x|}$ , а локальный поиск в алгоритме ABC осуществляется вдоль этих координатных осей. В результате пчела, расположенная вблизи дна оврага, постоянно «наталкивается» на крутые склоны оврага и не может улучшить свою позицию. В такой ситуации найти глобальный экстремум могут только пчелы-разведчики, осуществляющие глобальный поиск. Однако точность их способа поиска намного ниже точности локального поиска рабочих пчел. Исправить ситуацию мог бы другой алгоритм локального поиска, например, известный алгоритм Хука – Дживса или алгоритм Розенброка.

Значительный интерес представляет зависимость вероятности локализации глобального экстремума  $\xi$  в функции размера популяции  $|S|$ . В качестве оценки  $\xi$  этой вероятности используем отношение числа успешных запусков алгоритма (когда глобальный максимум был локализован) к общему числу запусков  $\hat{n} = 30$ .

Результаты исследования для функции Растригина размерности  $|X| = 8$  представлены в табл. 3.4. Исследование выполнено при следующих значениях свободных параметров алгоритма:  $b_i = |S^w| \cdot |X|$ ;  $\delta_i = 10$ .

**Таблица 3.4** Оценка вероятности локализации глобального экстремума  $\xi$  функции Растригина в функции размера популяции  $|S|$

$ S $	6	10	14	20	30	40
$\xi$	0,07	0,60	0,83	0,90	0,97	1,00

Табл. 3.4 показывает, что вероятность локализации глобального экстремума сложной многоэкстремальной функции Растригина достаточно высокой размерности ( $|X| = 8$ ) быстро растет с ростом размера популяции и уже при общем числе пчел в популяции, равном 30, достигает величины 0,97●

Известно значительное число модификаций ABC-алгоритма, имеющих целью повышение его эффективности. Например, в работе Ал. А. Олейника, С. А. Субботина (2008 г.) предложена модификация, основные положения которой заключаются в следующем.

Если общее число пчел в данном источнике  $X_i$  достигло своего порогового значения  $n_{\max}$ , то одна из них (пусть это будет рабочая пчела  $s_i^w$ ) изменяет свои координаты по правилу, близкому к правилу (3.26),

$$x'_{i,j} = \begin{cases} x_{i,j}^w + u_{\text{sign}}^{\pm 1} b_x, & j = l, \\ x_{i,j}^w, & j \neq l, \end{cases} \quad i \in [1:|S^w|], \quad j \in [1:|X|],$$

где  $l = U_1(1:|X|)$  – случайная натуральная величина, определяющая координатную ось, вдоль которой перемещается пчела  $s_j^w$ ;  $u_{\text{sign}}^{\pm 1}$  – случайная дискретная величина, которая с равной вероятностью принимает значения  $\pm 1$  и определяет направление смещения пчелы  $s_i^w$ ;  $b_x$  – свободный параметр, шаг смещения.

Полезность  $\phi_i^w$ ,  $i \in [1:|S^w|]$  источника нектара  $X_i^w$  определяет формула

$$\phi_i^w = \begin{cases} 1, & \tilde{\phi}_i^w > 1, \\ \tilde{\phi}_i^w, & \tilde{\phi}_i^w \in [\delta_\phi; 1], \\ 0, & \tilde{\phi}_i^w < \delta_\phi, \end{cases} \quad (3.28)$$

где

$$\tilde{\phi}_i^w = 1 - \bar{\phi}_i^w + U_1(-b_n; b_n). \quad (3.29)$$

Здесь  $\delta_\phi > 0$  – порог полезности источника (рекомендованное значение равно 0,1);  $b_n > 0$  – уровень случайных возмущений (рекомендованное значение равно 0,1);  $\bar{\phi}_i^w$  – нормированная полезность источника нектара  $X_i^w$ , рассчитанная на основе его минимальной и максимальной полезностей на протяжении всех итераций  $[1: t]$ .

На текущей итерации вероятность  $\xi_i^w$  выполнения пчелой  $s_i^w$  процедуры вербовки других пчел оцениваем в соответствии с выражением

$$\xi_i^w = \frac{a_i}{b_\xi}, \quad i \in [1 : |S^w|],$$

где  $a_i = \max(\varphi_i^w - b_a \bar{\varphi}^w, 0)$  – привлекательность источника  $X_i^w$ ,  $b_\xi > 0$  – параметр, управляющий вероятностью  $\xi_i^w$ ;  $\bar{\varphi}^w$  – средняя текущая полезность всех  $|S^w|$  участков;  $b_a > 0$  – свободный коэффициент, регулирующий влияние величины  $\bar{\varphi}^w$ .

Вероятность того, что незанятый фуражир станет разведчиком, определяет формула

$$\xi^o = \exp\left(-\frac{a^2}{2b_o}\right),$$

где  $a = \sum_{i \in [1 : |S^w|]} a_i$  – суммарная текущая привлекательность всех источников,

$b_o > 0$  – свободный параметр.

Авторами рассматриваемой модификации выполнено сравнение ее эффективности с каноническим алгоритмом роя частиц. Исследование показало, что при оптимизации сложных многомерных многоэкстремальных функций данная модификация обеспечивает более высокую точность локализации глобального экстремума.

### 3.3.4. Гибридный алгоритм

Алгоритм предложен в работах С.А. Субботина, Ан. А. Олейника и Ал. А. Олейника (2008 г.) и существенно использует алгоритм оптимизации путем имитации отжига.

Рассмотрим задачу глобальной условной максимизации в гиперпараллелепипеде  $\Pi$ . Схема алгоритма включает в себя следующие основные шаги.

- 1) Инициализация алгоритма.
- 2) Выбор пчел, на основе которых с помощью процедуры скрещивания будут получены новые пчелы.
- 3) Скрещивание отобранных агентов.
- 4) Моделирование процесса вербовки пчел.
- 5) Локальная оптимизация найденных лучших решений с помощью алгоритма имитации отжигом.
- 6) Выбор лучшей пчелы.
- 7) Выбор пчел-разведчиков.
- 8) Обновление динамических параметров алгоритма.
- 9) Завершение итераций.

Последовательно рассмотрим перечисленные шаги алгоритма.

*Инициализация алгоритма.* Этап инициализации включает в себя следующие действия. Задаем начальные координаты  $X_i(0)$  пчел-разведчиков (источников нектара)

$$x_{i,j}(0) = x_j^- + U_1(0; 1) (x_j^+ - x_j^-), \quad i \in [1 : |S^o|], \quad j \in [1 : |X|]. \quad (3.30)$$